

東京大学大学院

学生員 ○原田隆典

東京大学生産技術研究所 正員

久保慶三郎

東京大学生産技術研究所 正員

片山恒雄

1. まえがき 図-1(a)に示すよ
うな、地表面で $u_0^{(f)}$ 地震動を受ける基
礎一地盤系を(b)へ質点モデルに置換する
合理的方法について検討した結果、表-1
に示す複素ばね係数と有効地震動といふ
2つの物理量を用いて、図-1(b)を系は
図-1(b)へ質点モデルに等置すること
が明らかとなった。この考え方方にしたが
て弾性波動論により求められた円柱剛
体基礎に対する複素ばね係数と有効地震
動の近似式は、有限要素法による結果や
(2,3)
野外の実測結果とよい一致を示した。

本小文の目的は以下の2つである。

(1) 複素ばね係数と有効地震動に剛体
基礎の質量を考慮して(1)式の運動方
程式を解いて、地震動を受ける埋設
剛体基礎の動的挙動に及ぼすこら
3つの物理量(質量、複素ばね係数、有効地震動)
の影響度を明らかにする。

(2) 一般道路橋ケーラン基礎と長大吊
橋大型ケーラン基礎を例に取り上げ
両者の地震時挙動の持長を示す。

2. 解析モデルの概要 一般道路
橋の例として、地震観測の行なわれてい
る新葛飾橋・橋脚基礎を、また長大吊橋の
例として、現在計画中の明石大橋主塔基
礎を取り上げ、以下のような剛体2自由
度でモデル化した。

新葛飾橋・橋脚基礎 橋軸方向を対象

とし、モデル基礎の質量と寸法を表-2のように定めた。埋込み深さ h および基礎の高さ l は原寸法と同じとした。実際の断面形状は小判型であるため、断面2次モーメントが等しくなるように数理モデルの等価半径 a を求めた。また、巨視的に見れば、基礎・橋脚および桁は剛体的に運動すること、およびこの橋のP₂橋脚は4径間連続桁を固定支しであることを考慮、ケーラン基礎重量に4径間分の桁重量を加えて質量を決めた。

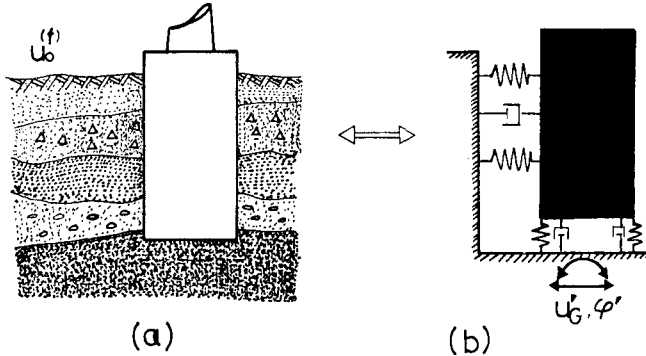


図-1 地震動を受ける基礎一地盤系とその質点モデル

表-1 地震動を受ける剛体基礎の運動方程式とその係数の物理的意味

$\begin{bmatrix} m & 0 \\ 0 & J_G \end{bmatrix} \begin{Bmatrix} \ddot{u}_G \\ \dot{\psi} \end{Bmatrix} + \begin{bmatrix} K_{XX} & K_{X\psi} \\ K_{X\psi} & K_{\psi\psi} \end{bmatrix} \begin{Bmatrix} u_G \\ \psi \end{Bmatrix} = \begin{bmatrix} K_{XX} & K_{X\psi} \\ K_{X\psi} & K_{\psi\psi} \end{bmatrix} \begin{Bmatrix} u_G' \\ \psi' \end{Bmatrix}$	(1)
or,	
$\begin{bmatrix} m & 0 \\ 0 & J_G \end{bmatrix} \begin{Bmatrix} \ddot{x}_G \\ \dot{\theta} \end{Bmatrix} + \begin{bmatrix} K_{XX} & K_{X\psi} \\ K_{X\psi} & K_{\psi\psi} \end{bmatrix} \begin{Bmatrix} x_G \\ \theta \end{Bmatrix} = - \begin{bmatrix} m & 0 \\ 0 & J_G \end{bmatrix} \begin{Bmatrix} \ddot{u}_G' \\ \dot{\psi}' \end{Bmatrix}$	(1')
$u_G = u_G' + x_G, \quad \psi = \psi' + \theta$	
$-K_{ij}(i,j=x,\psi)$ — 複素ばね係数	
地震動 $u_0^{(f)}$ を受けない基礎一地盤系において、基礎に単位の変位を与えるために必要な力。この係数は起振機実験などによって原理的に求まる。	
$-u_G', \quad \psi'$ — 有効地震動	
上部構造物などによる外力の存在しない状態における質量を持たない基礎の地震時応答変位。	
$m, \quad J_G$ — 基礎の質量と慣性質量モーメント	

慣性モーメント J_g は全体の質量が均質に分布する中実円柱として求めた。地盤定数は図に示した。吊橋主塔基礎 橋軸方向を対象として、本凹耐震設計指針に従い表-2のように決めた。

表-2 数理モデル基礎の諸元

	$m_g, \frac{\text{ton.sec}^2}{\text{m}}$	$J_g, \text{ton.m.s}^2$	半径 a, m	埋設深 h, m	高さ l, m
P5橋脚基礎	739.8	5.7×10^4	4.75	21.0	29.3
吊橋主塔基礎	5.7×10^4	4.0×10^7	24.0	25.0	81.3

3. 数値計算結果 表-2の定数と複素ばね係数および有効地震動 $U_0^{(f)}$ を用いて(1)式の周波数応答曲線を求めた結果を図-2・図-3に示す。
(1)式の質量と複素ばね係数はそのまま使用して、
(1)式右辺の有効地震動の近似式を変えた結果を実線、一点破線、破線で示し、自然地盤地表面地動 $U_0^{(f)}$ に対する基礎上端の絶対変位倍率で結果を示す。もともと有効地震動は表-1の物理的意味を持つもので、自然地盤地表面地動の値とは異なる。しかし、(1)式右辺の入力として自然地盤地表面の地動が使用されれば実用的なため、 $U_0^{(f)} = U_0^{(f)}$ 、 $\phi' = 0$ とした結果を破線で示した。

4. 参照とまとめ 図-2と図-3ともに最大値に注目する限り、用いる地震動による違いはない。したがって、実用的には、かさねぎ表-1に示す物理的意味を持つ有効地震動を使わなくとも、自然地盤地表面における地震動を用いてよいと言える。図-2におけるP5橋脚基礎の最大値は表層地盤の1次固有振動数 ω_g に現われ、自己の固有振動数 $\omega_s = 1.47 \omega_g$ ではピークを示さない。また、最大値も周波数応答倍率で2.0弱の値をとる。これらのこととは、基礎は地盤の運動に支配されることを示しており、地震観測結果とも一致する。(4)一方、図-3の主塔基礎では、自己の固有振動数 $\omega_s = 0.5 \omega_g$ で大きなピークを示す。この場合には、基礎が地盤の運動に支配されることなく、いわゆる地上構造物が示す地震動に対する共振現象を示すのであり、基礎の動特性を考えた設計の必要性を示唆している。参考文献

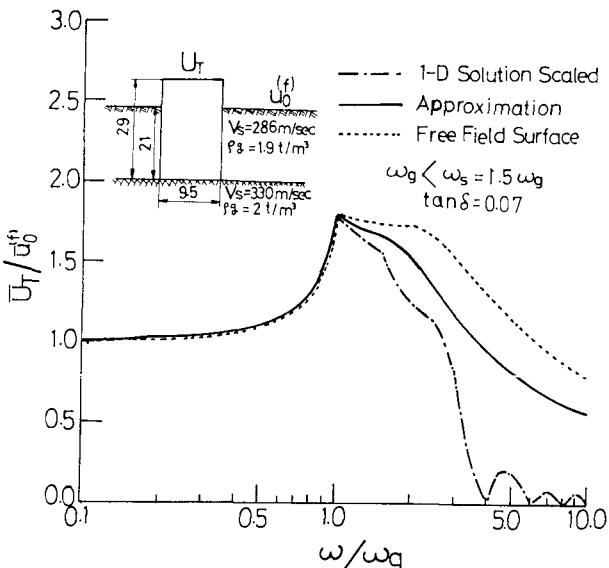


図-2 P5橋脚基礎の周波数応答曲線

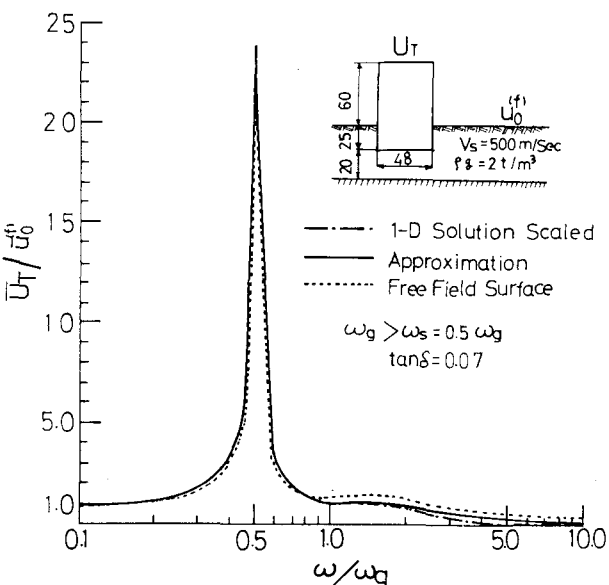


図-3 主塔基礎の周波数応答曲線

(1)原田、久保、片山：地震動を受ける埋設剛体基礎の運動方程式；第35回年次講演会-230。

(2)原田、久保、片山：表層地盤の動反力係数とその埋設剛体基礎の動的復元力評価への応用；第15回地震工学研究会

(3)原田、久保、片山：地震波の有効入力の考え方とその震源例による検討；第15回地震工学研究会

(4)土岐、小松：井筒基礎の地震応答解析に関する研究；土木学会論文報告集, No.281, 1976-1 pp. 29-40.